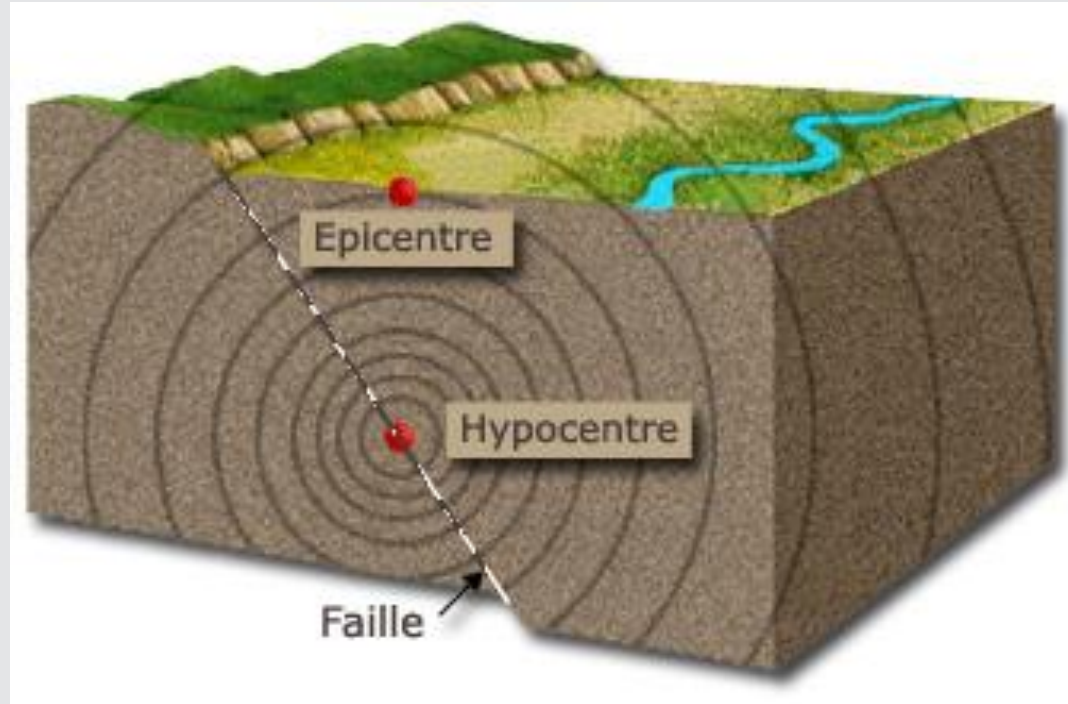


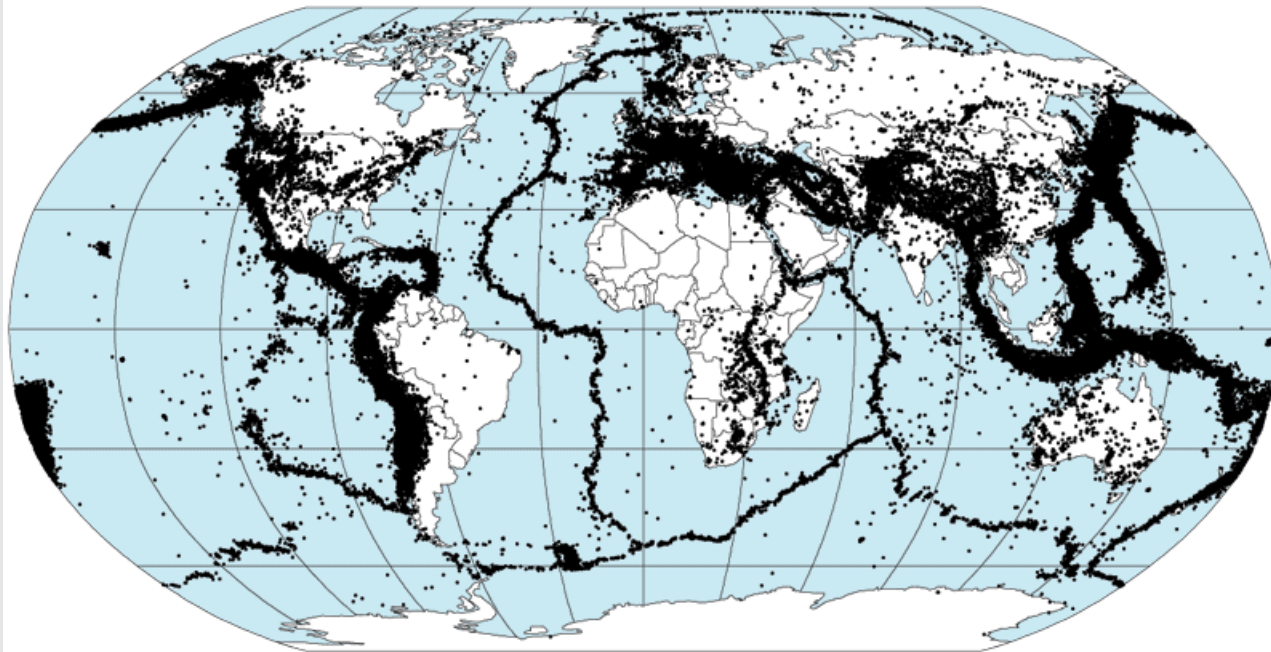
Forme et structure interne de la Terre

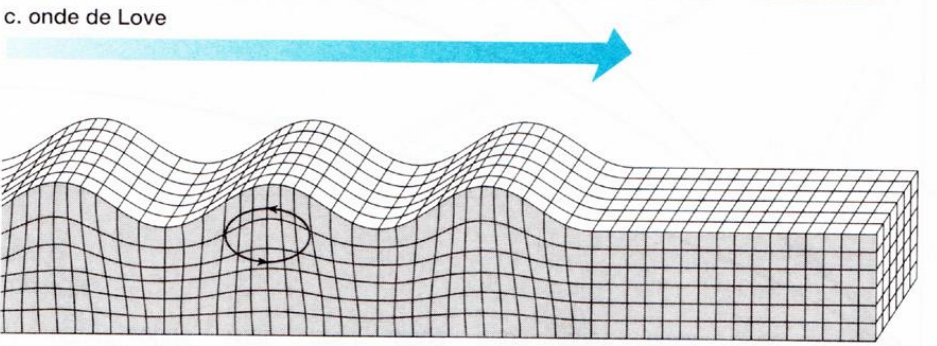
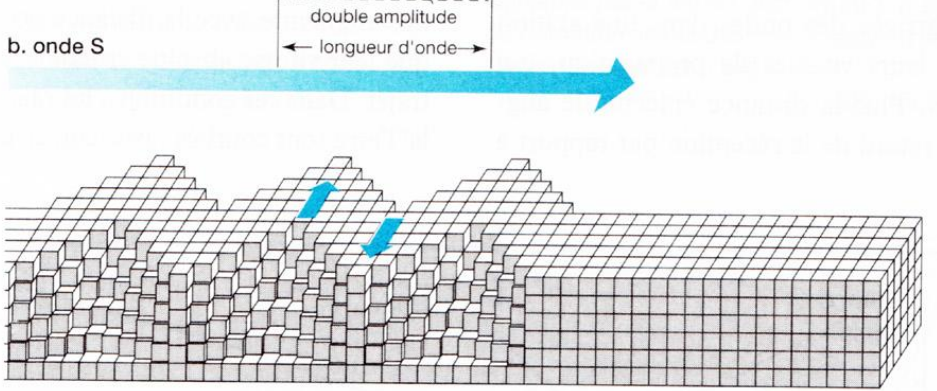
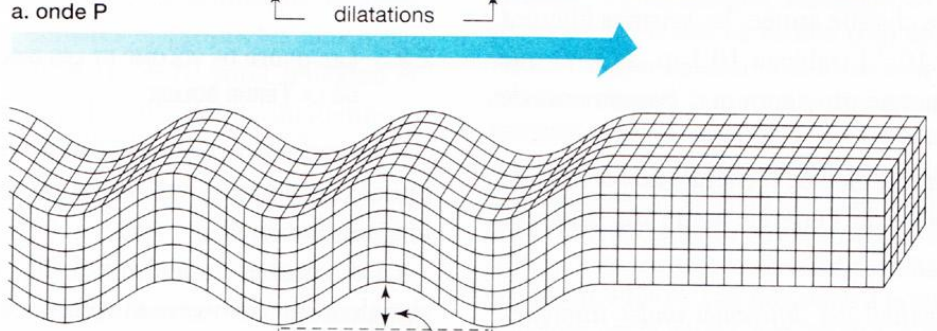
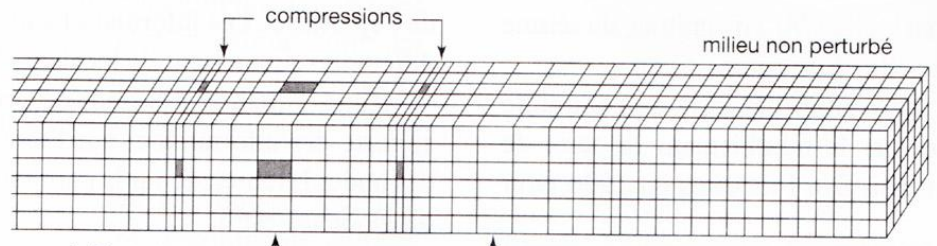
Géosciences



ences

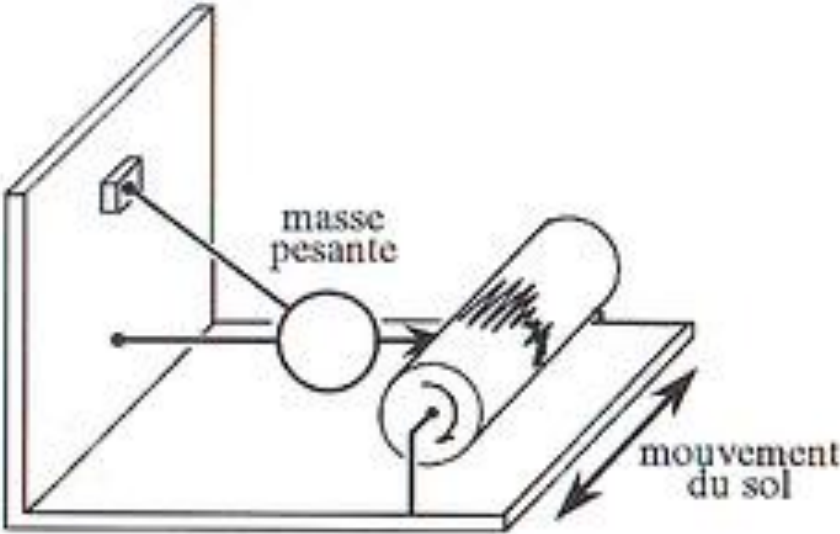
Preliminary Determination of Epicenters
358,214 Events, 1963 - 1998



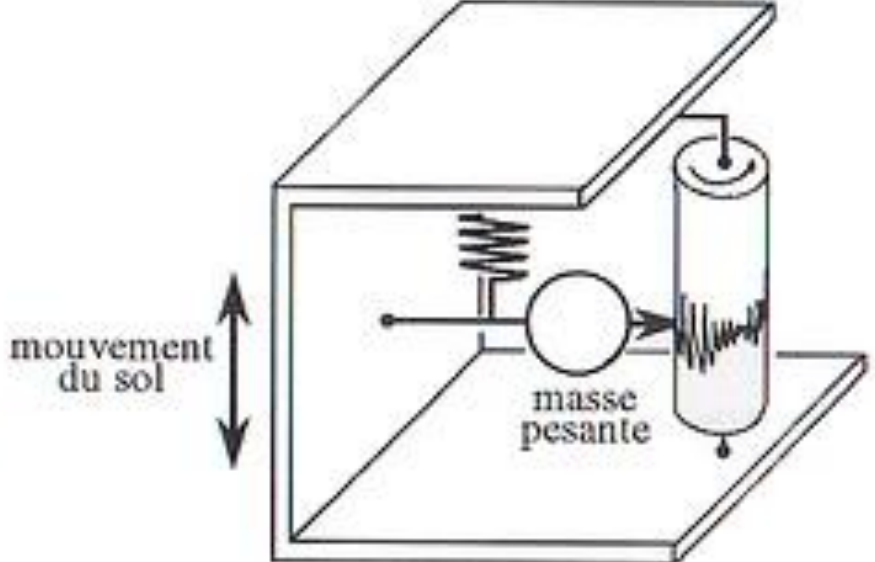


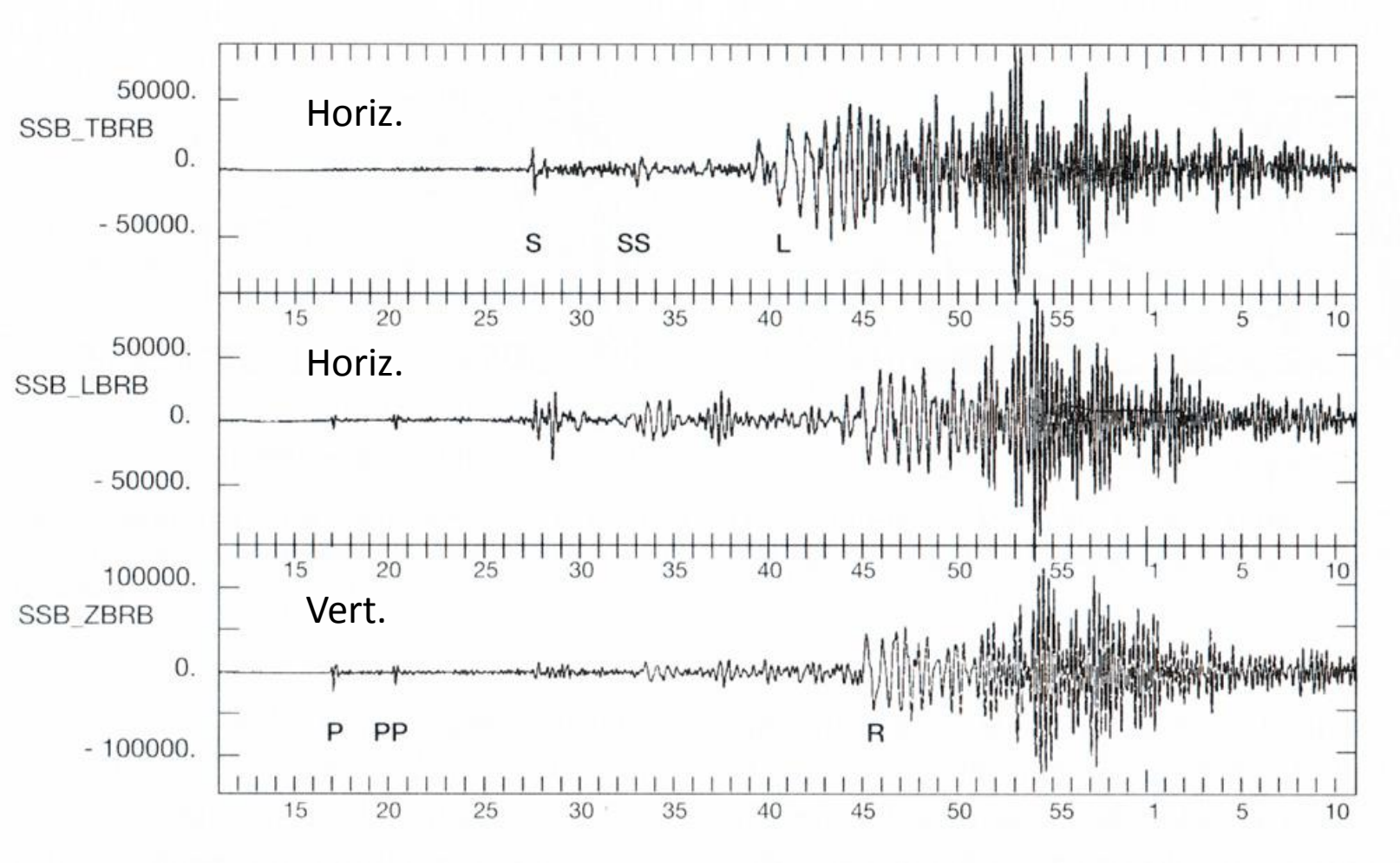
ences

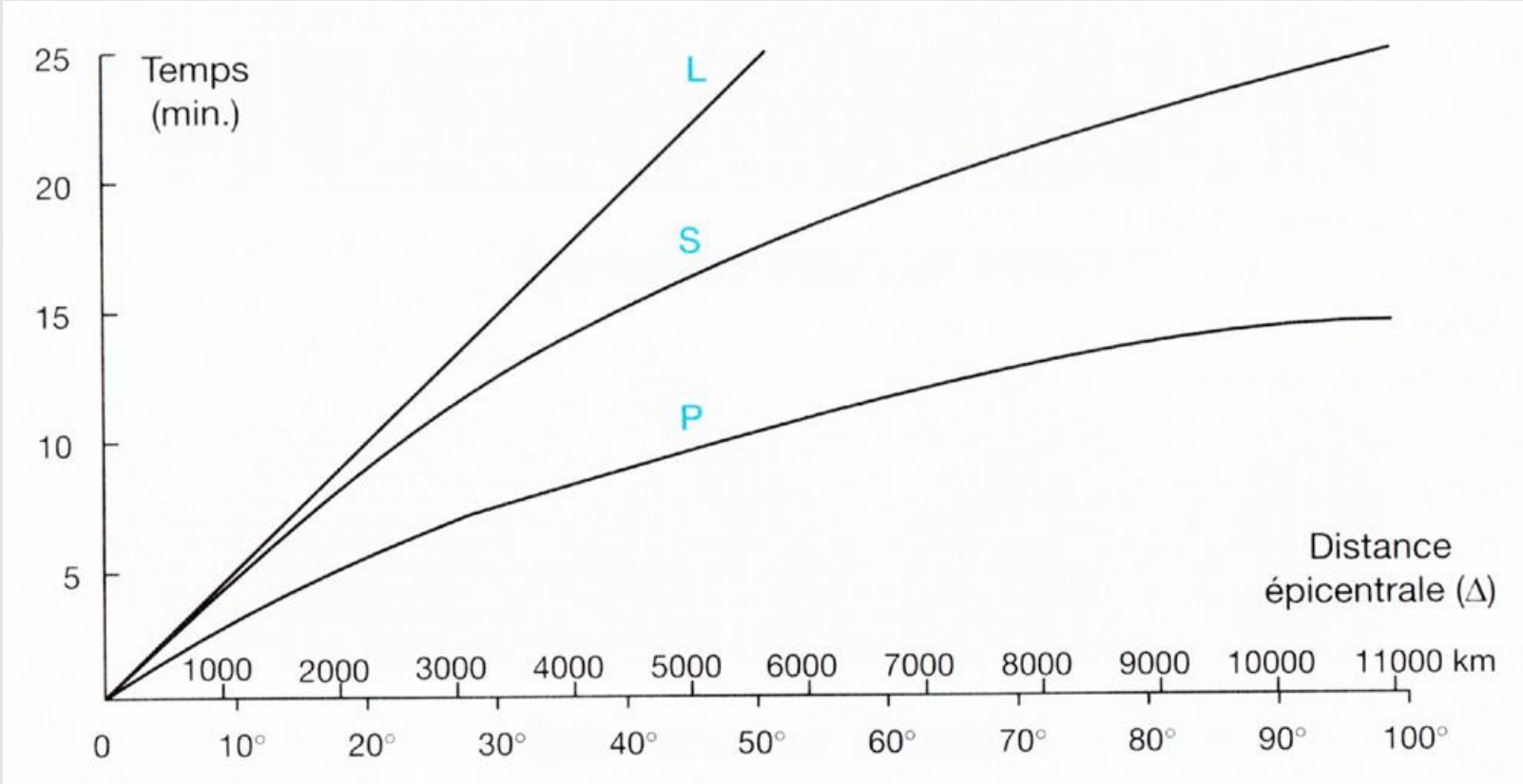
Sismographe horizontal

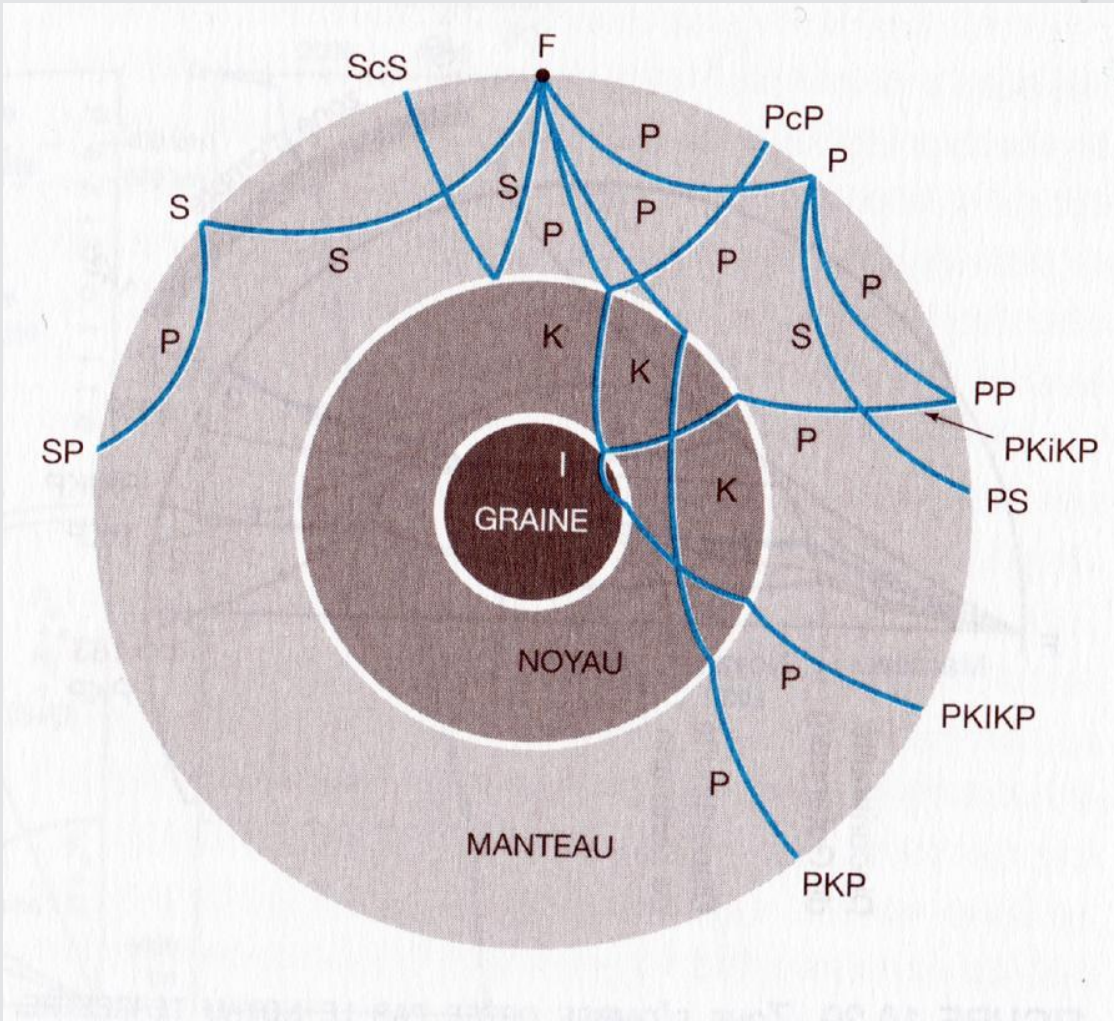


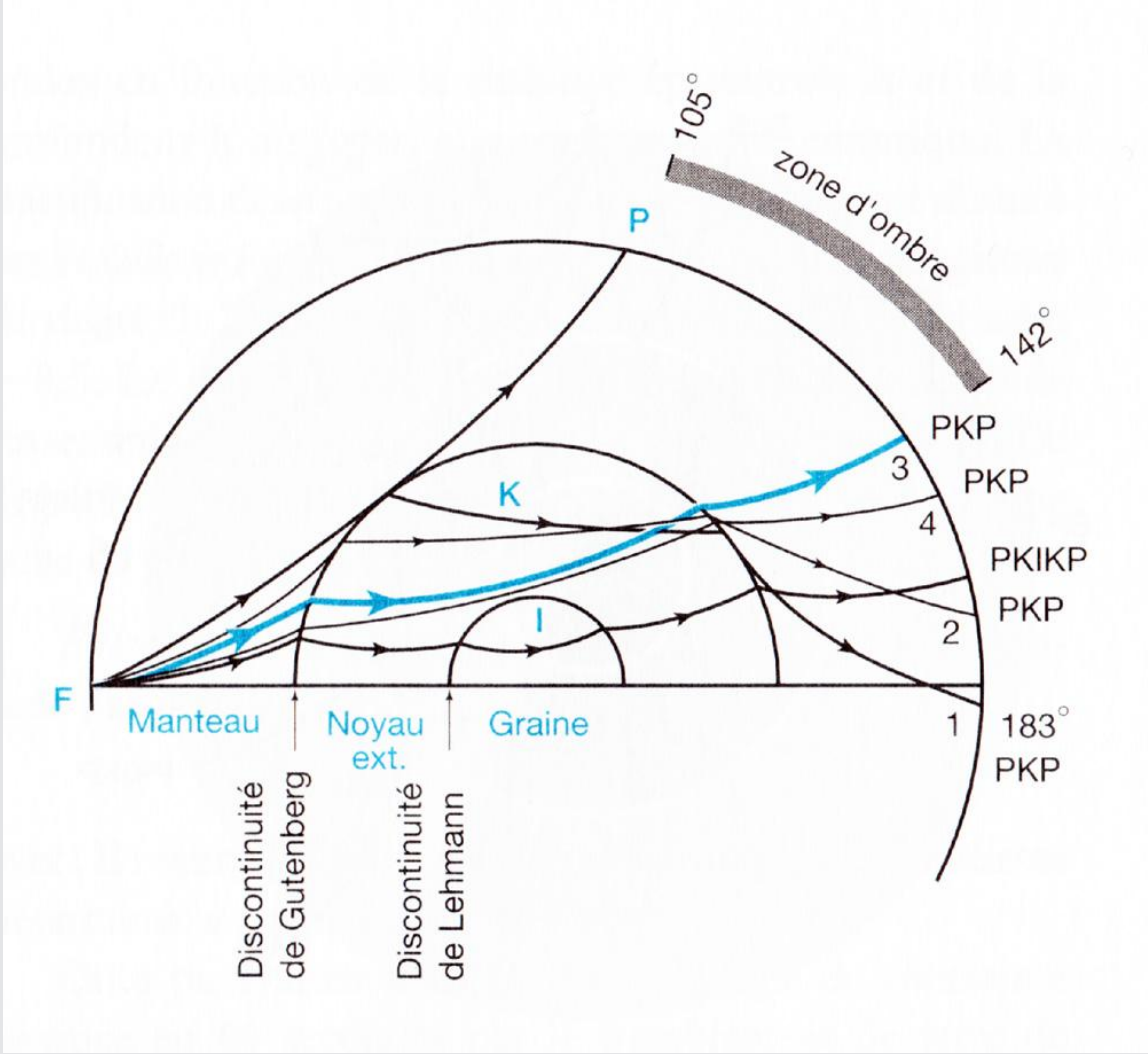
Sismographe vertical



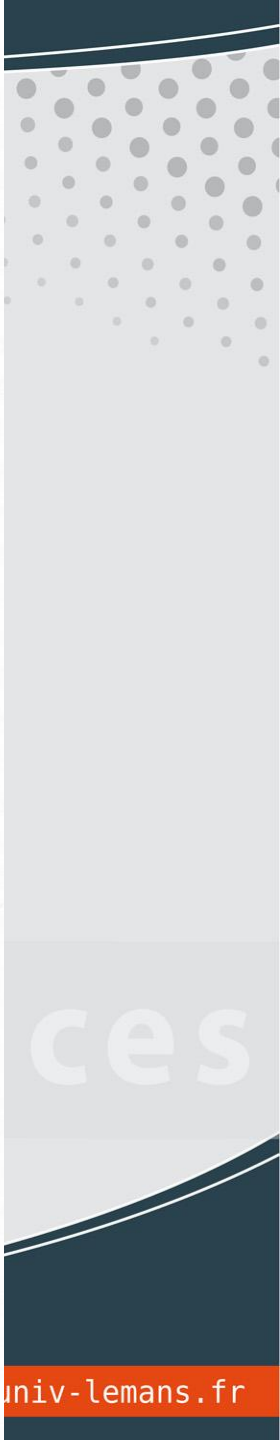
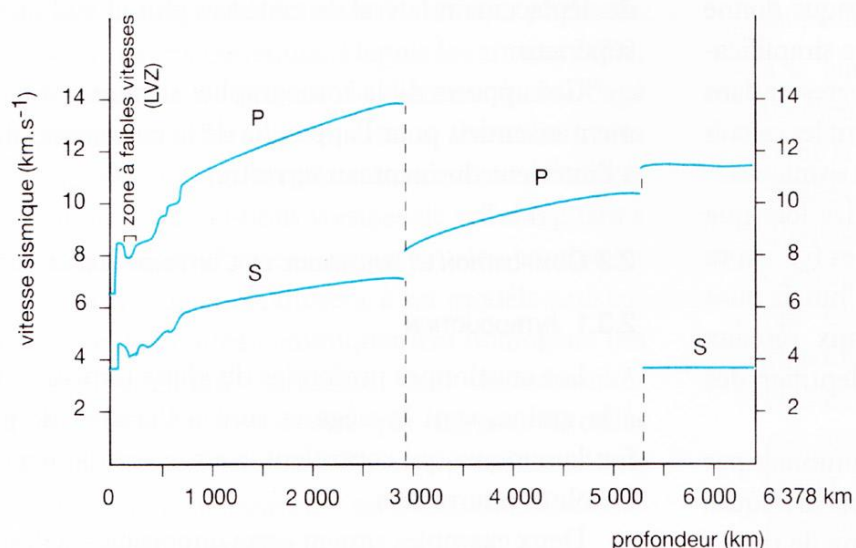
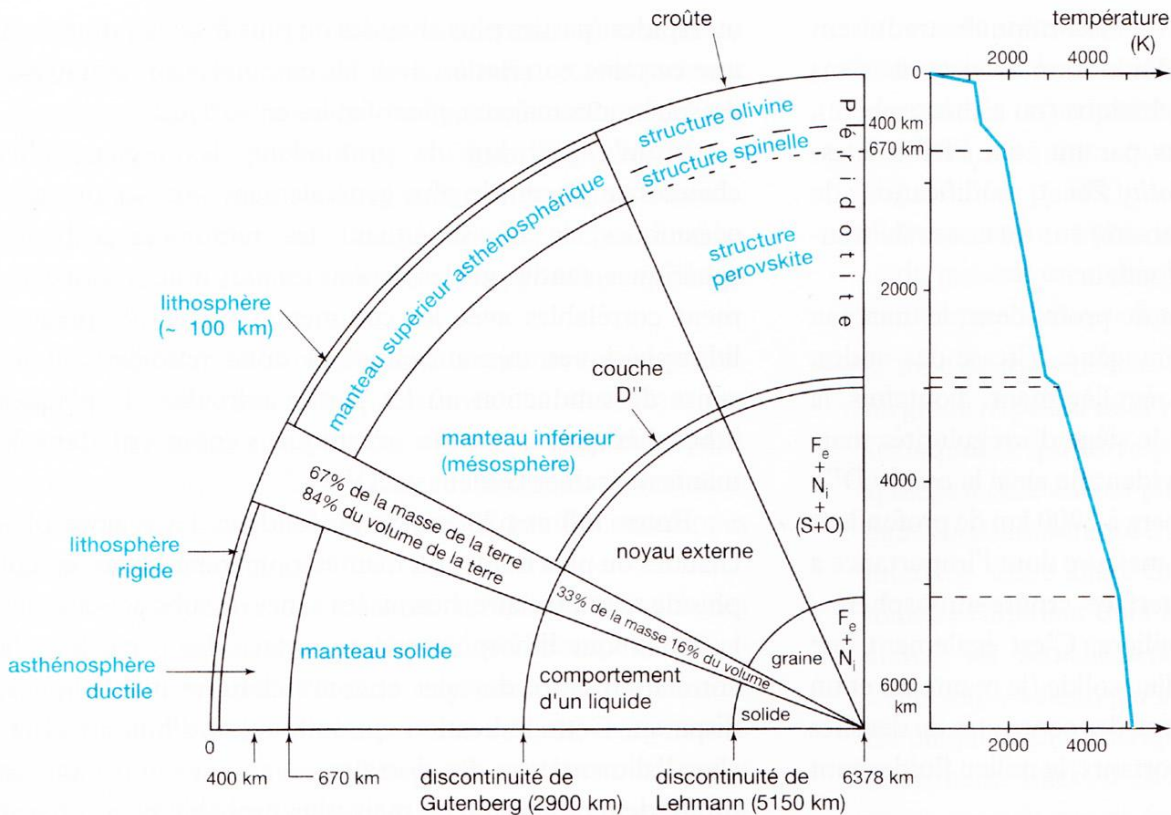




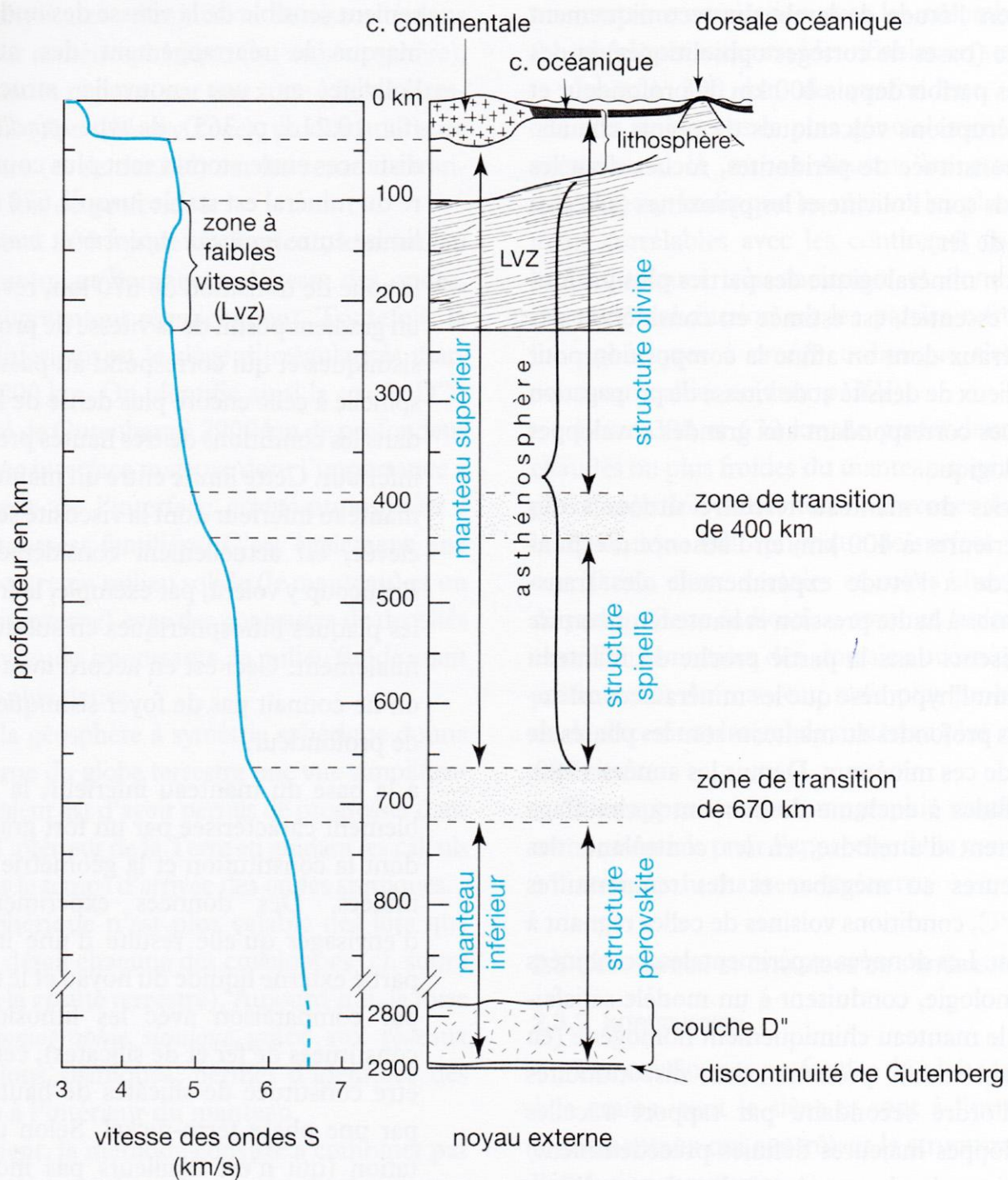




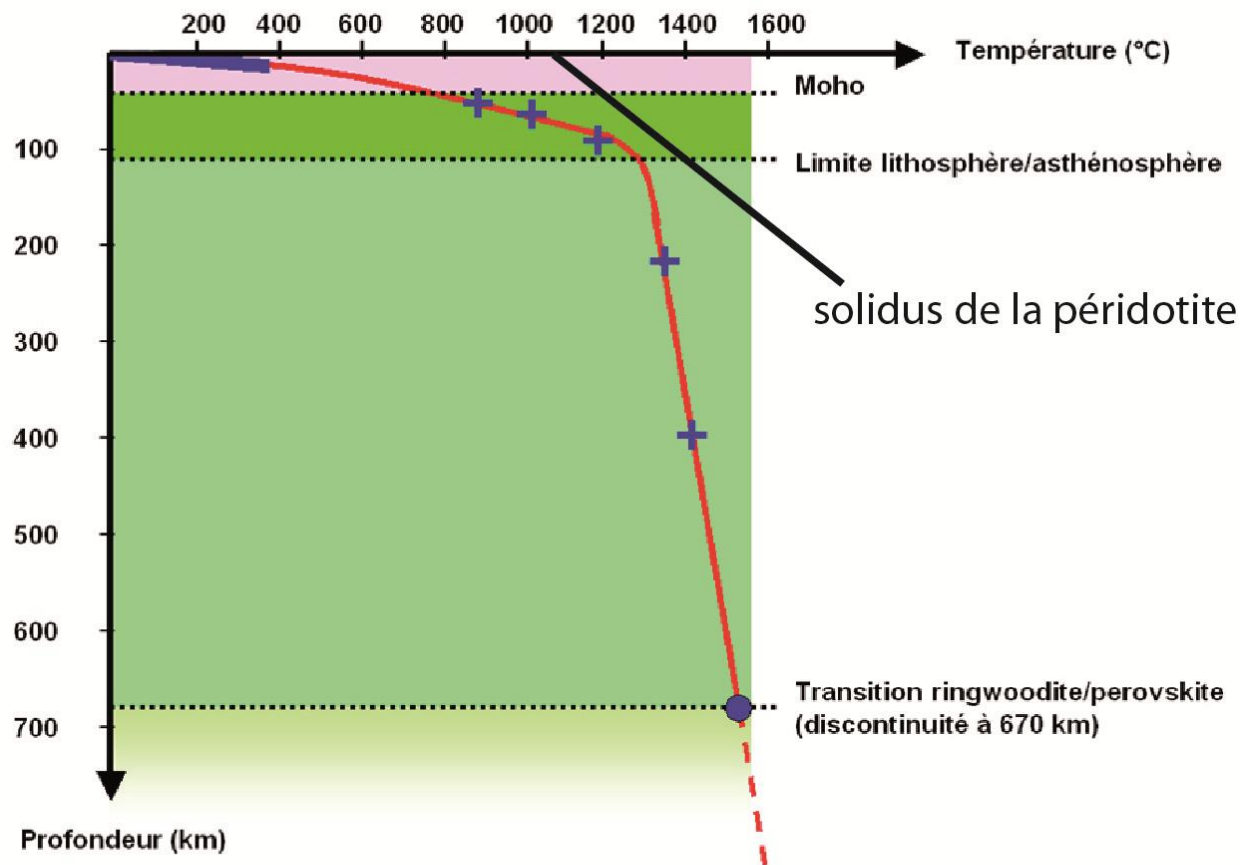
ences






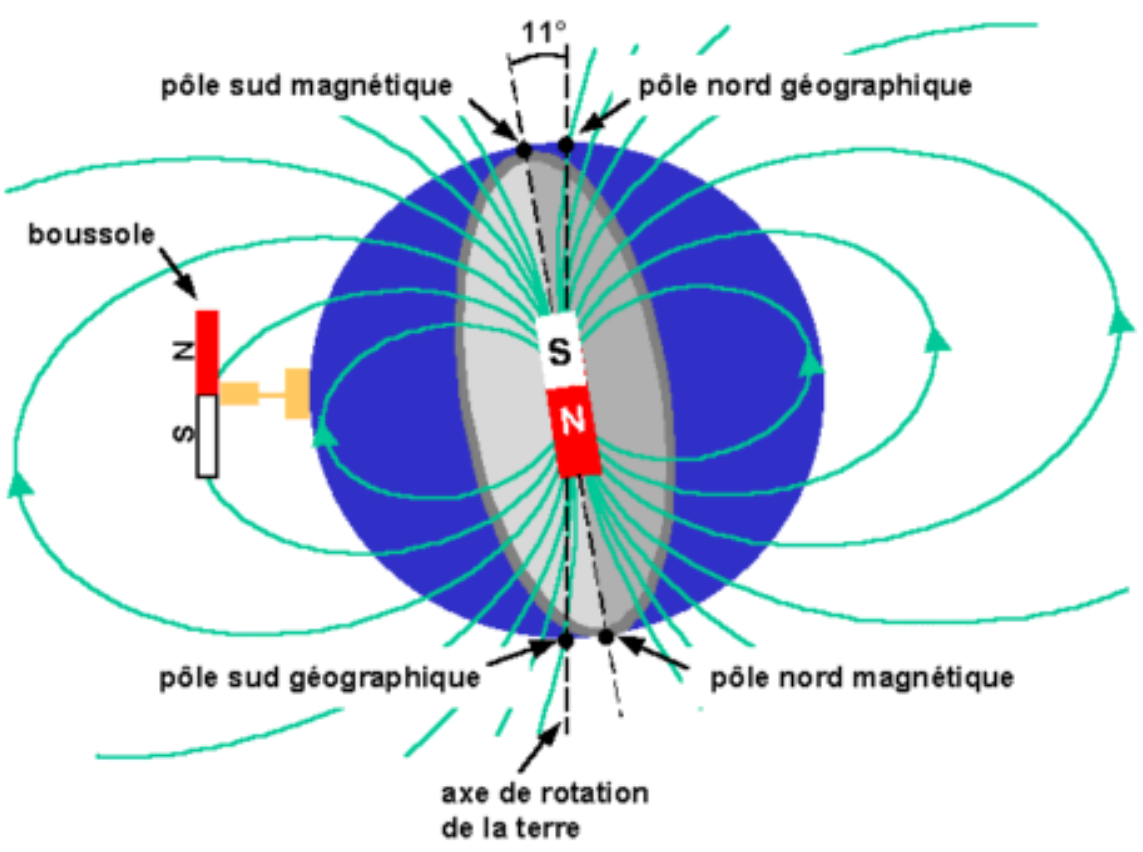
ces

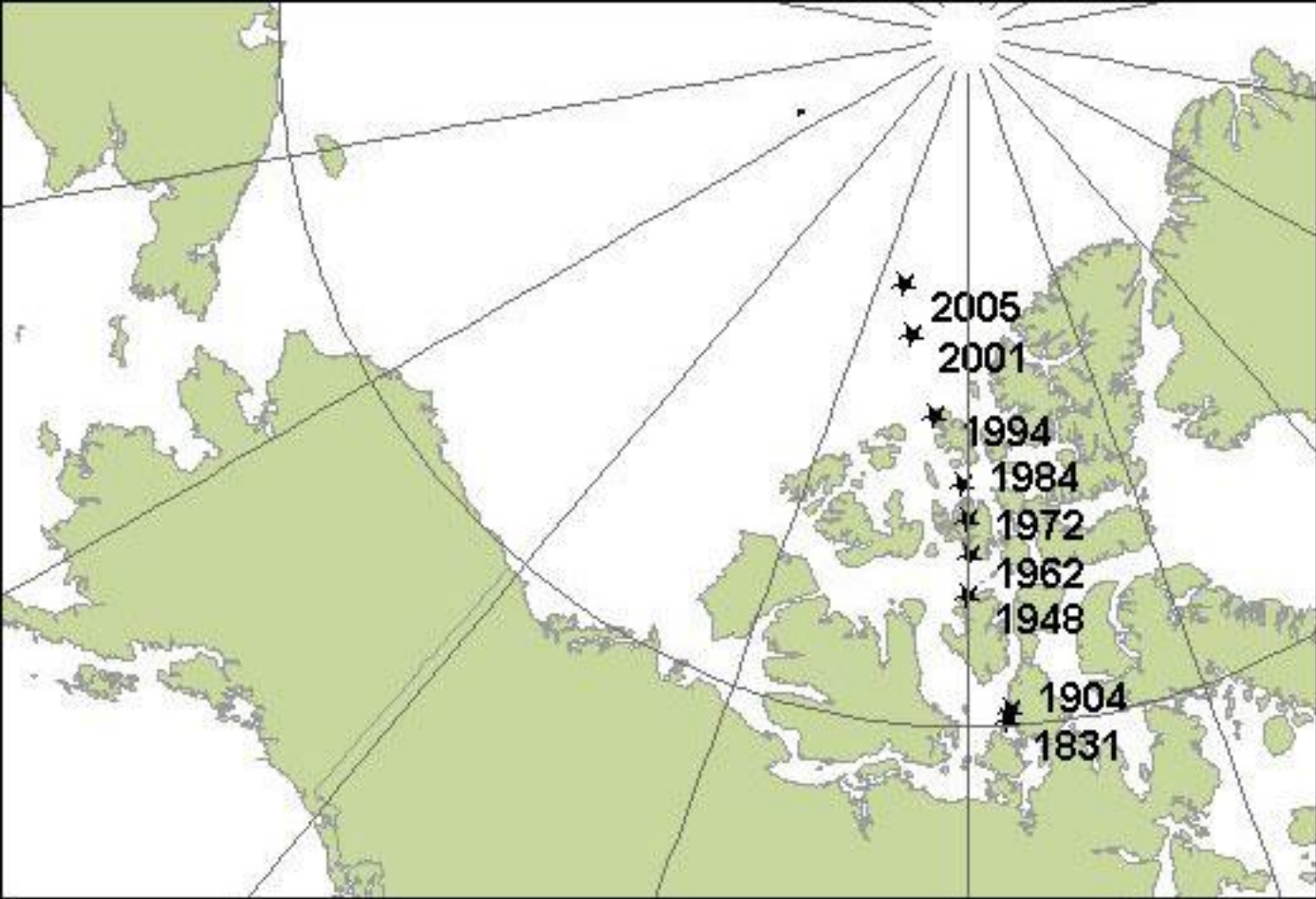


Gradient géothermique de la lithosphère et de l'asthénosphère

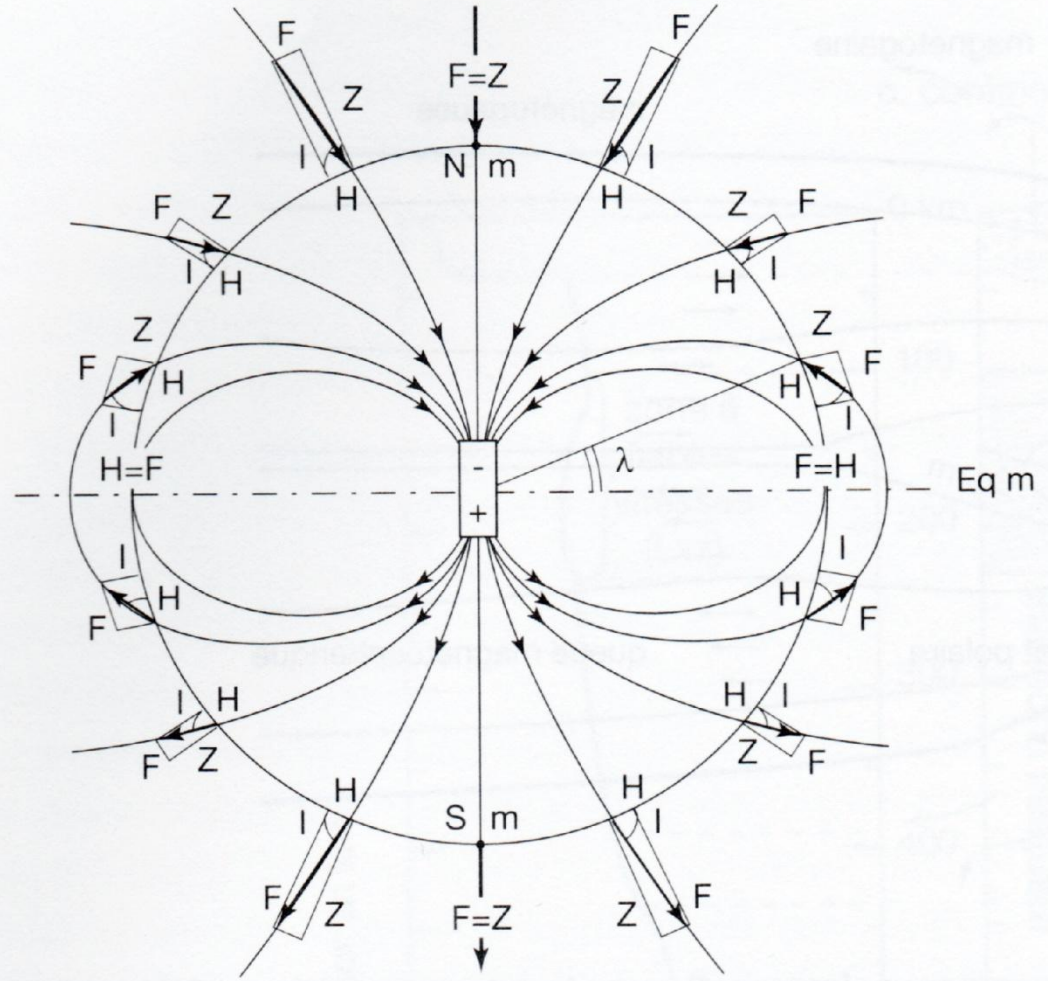
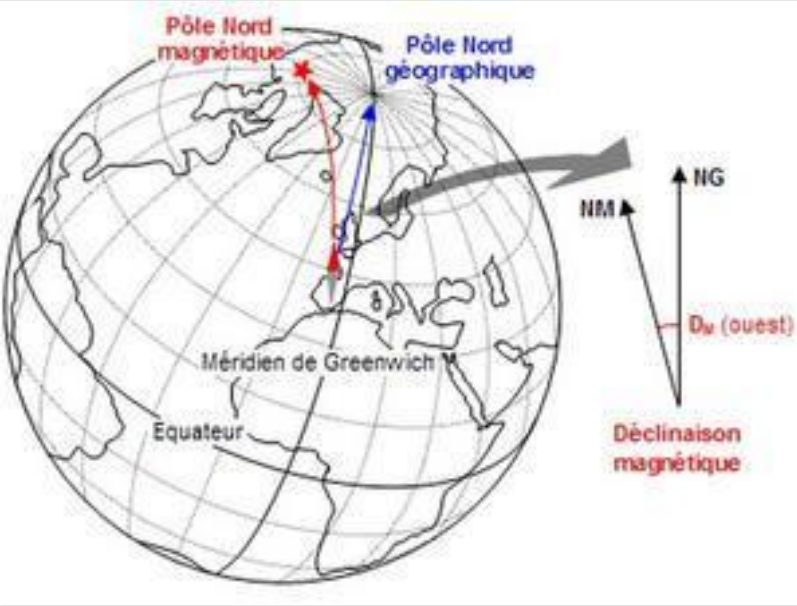


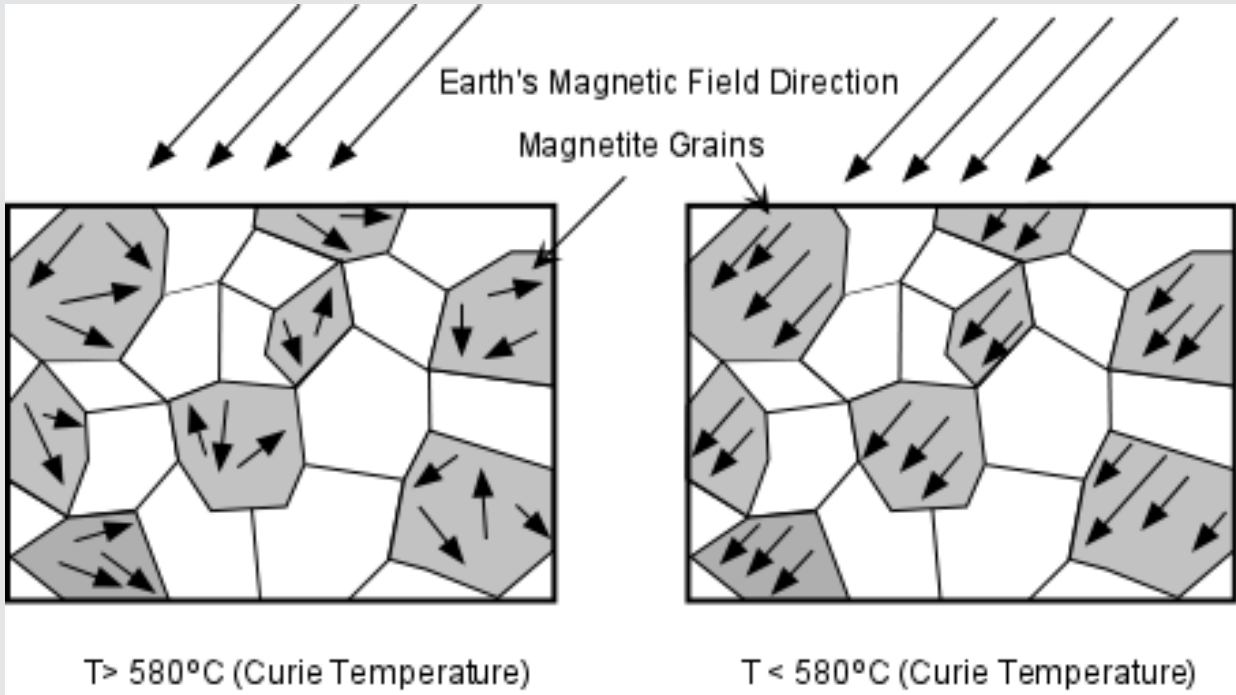
-  Gradient superficiel mesuré dans les mines et forages
-  Données tirées des enclaves mantelliques
-  Température au niveau de la transition ringwoodite/perovskite

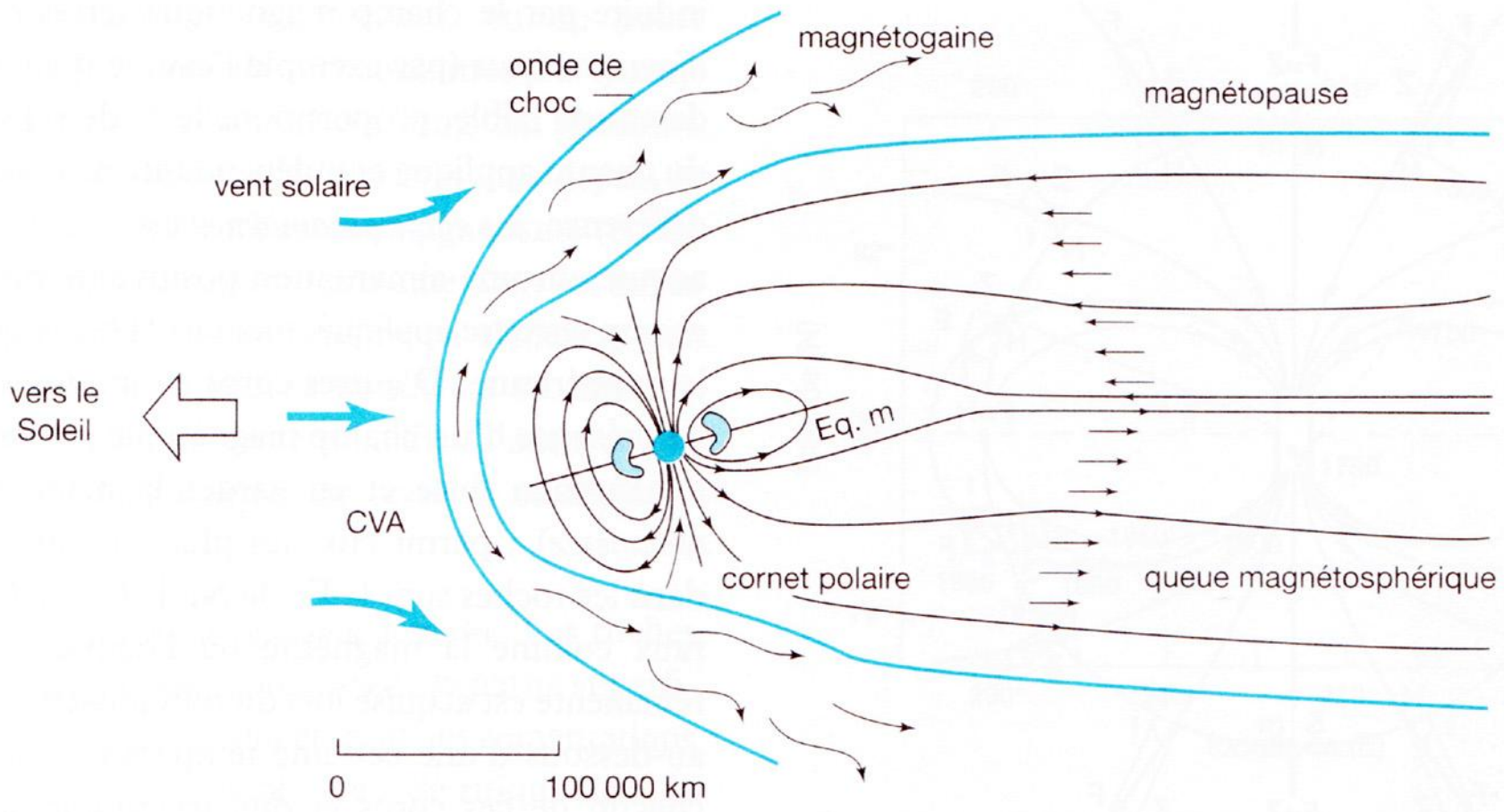




ces





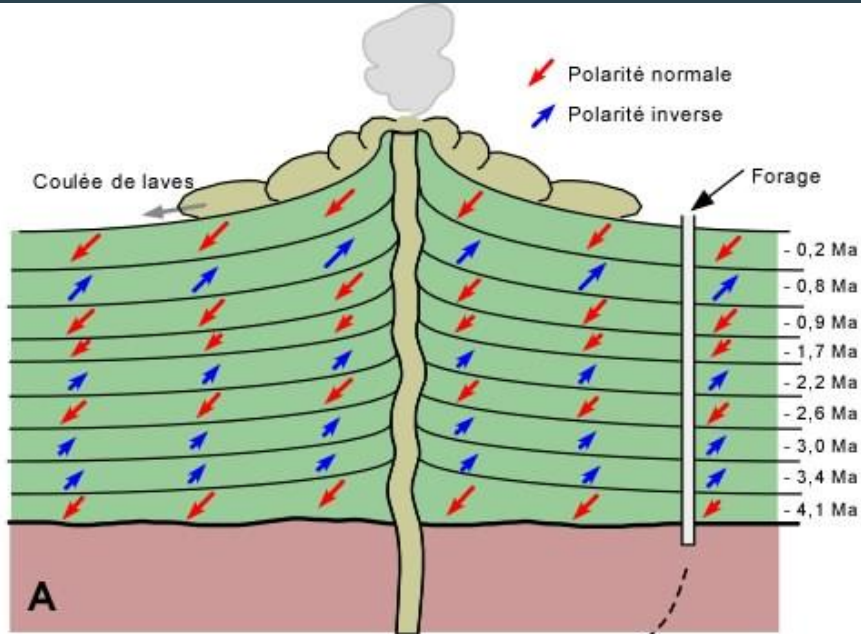




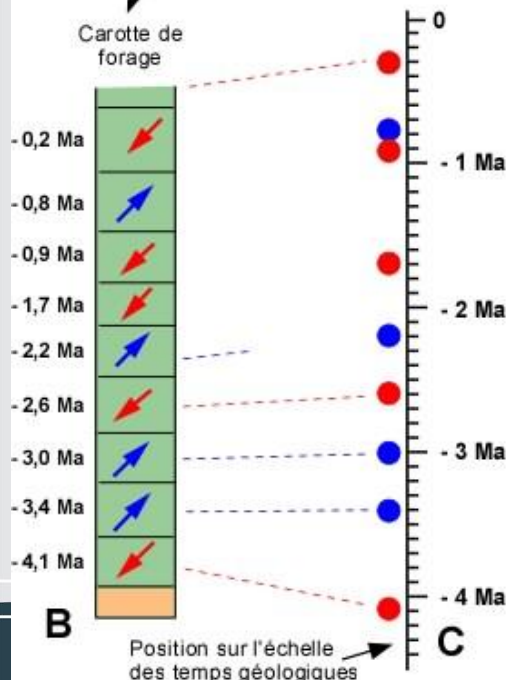
nces



iences

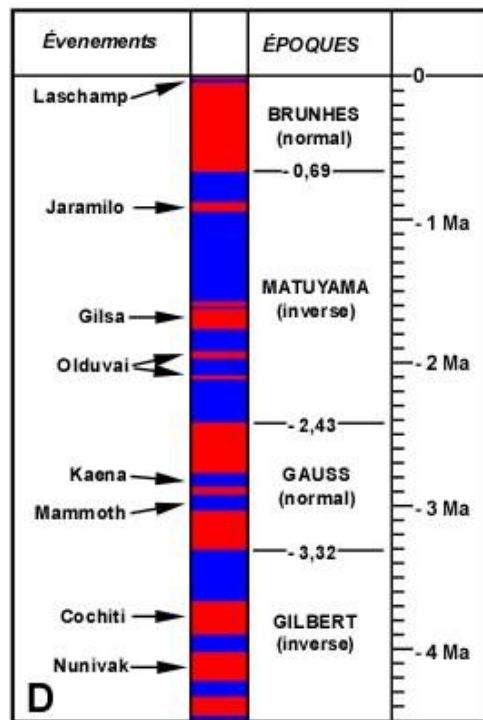


A

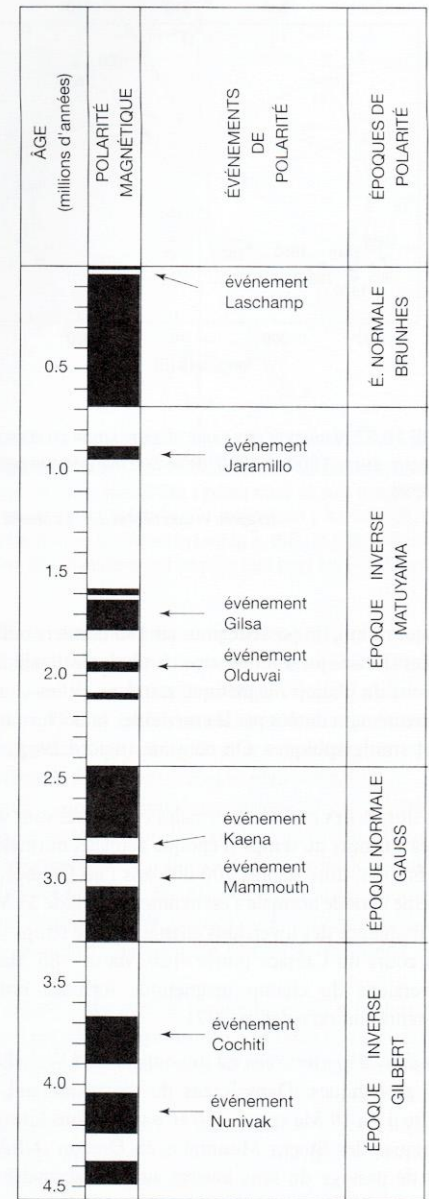
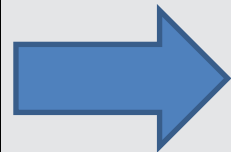


B

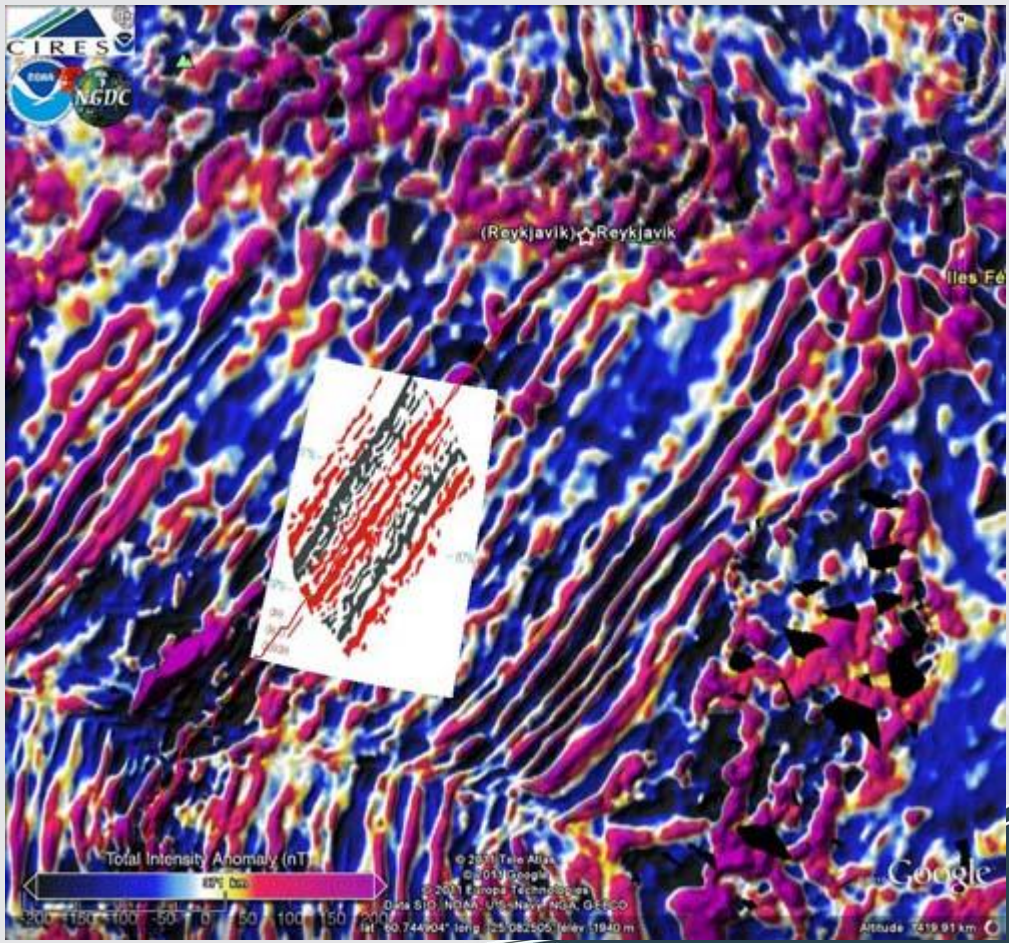
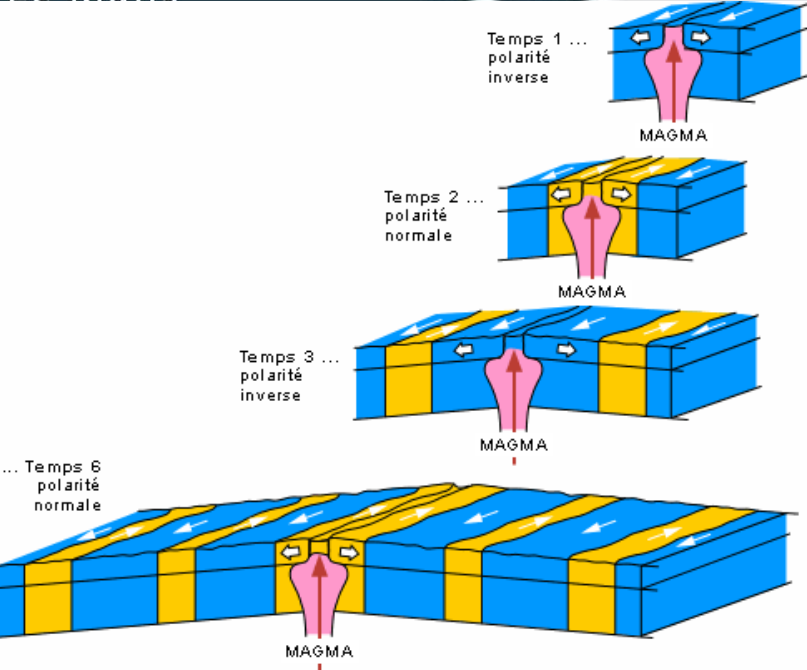
C

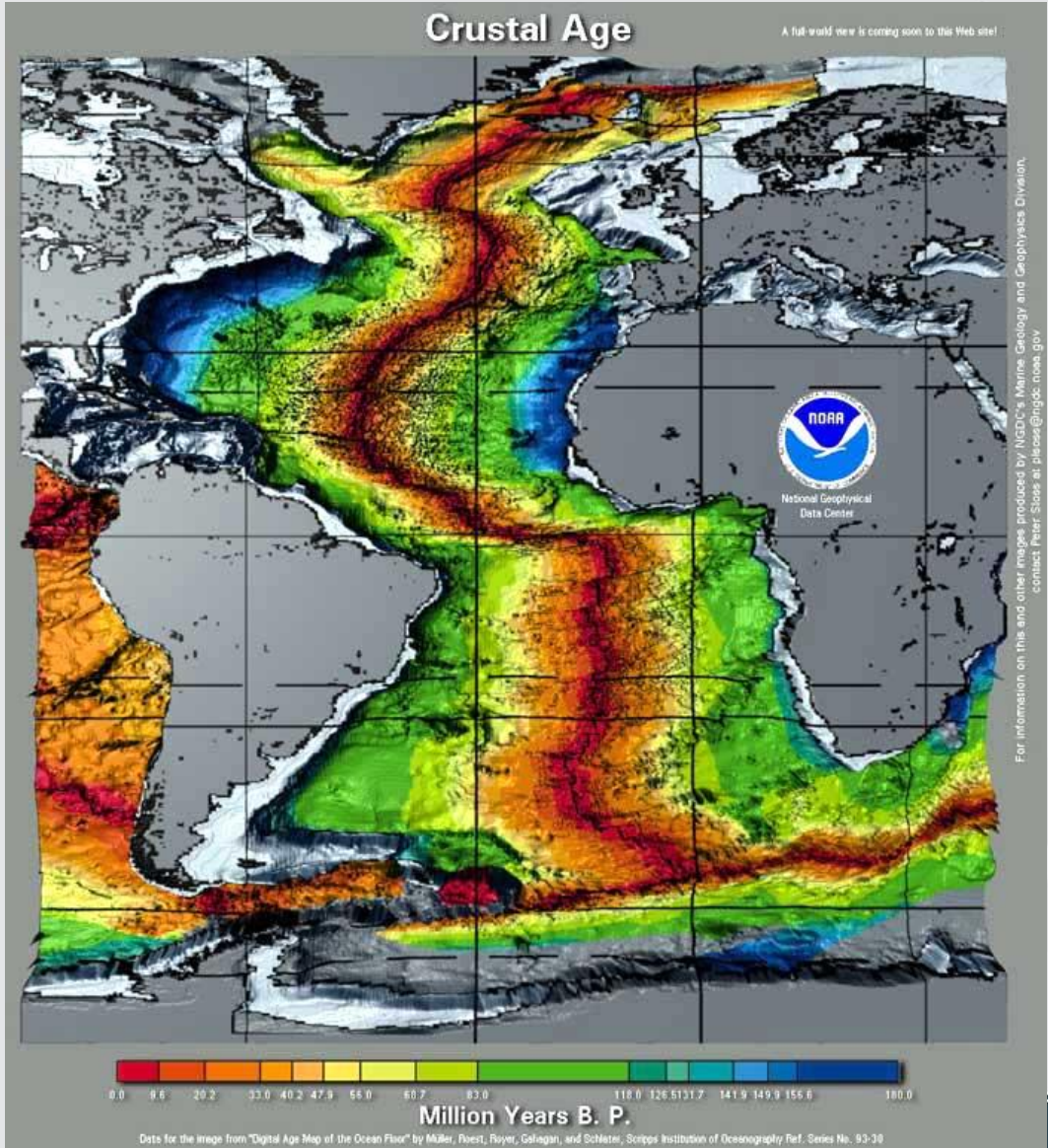


D

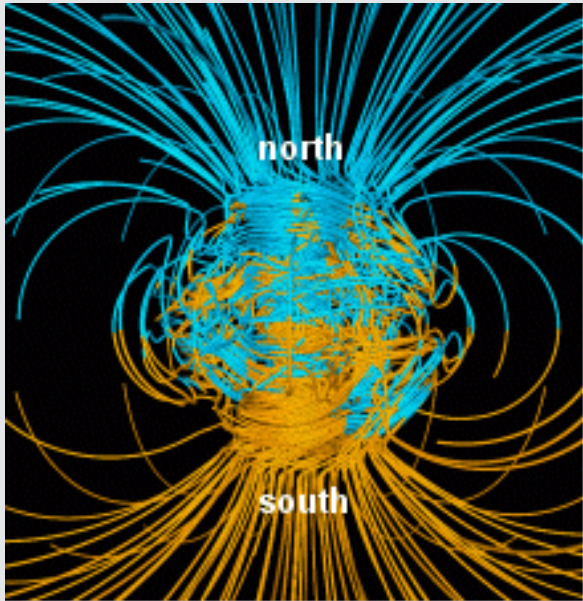


ÉCHELLE ABSOLUE DES INVERSIONS MAGNÉTIQUES POUR LES 4,5 DERNIERS MA. Par convention, les époques et événements de champ normal (de même sens que le champ actuel) sont figurés en noir. Les autres, durant lesquels le champ était inversé, apparaissent en blanc.

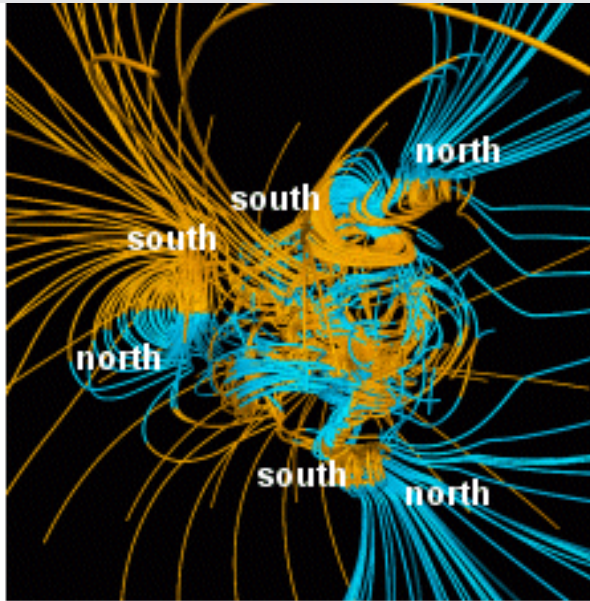




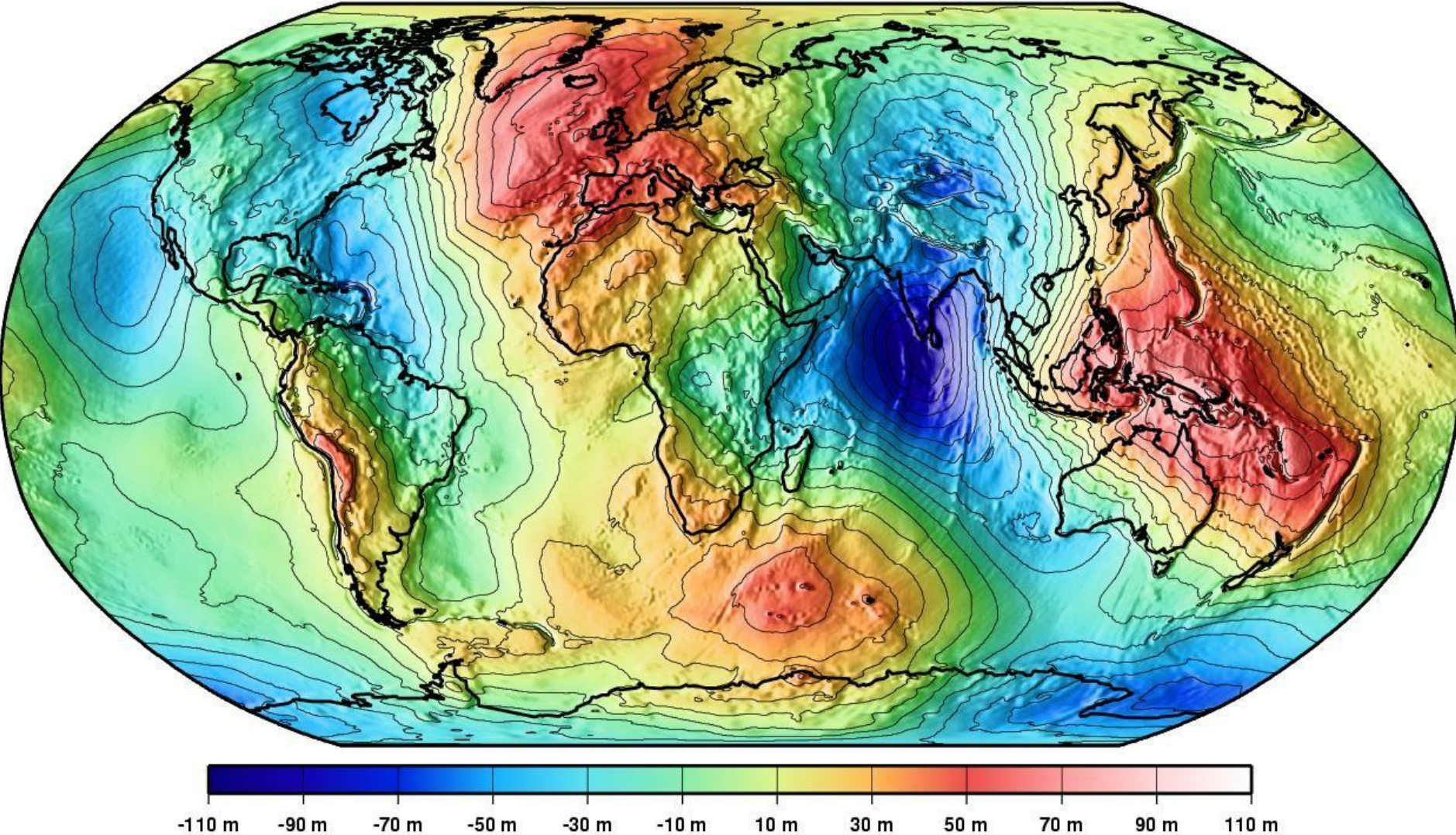
ences



between reversals



during a reversal



Anomalies courtes longueurs d'ondes du géoïde

